

行政院國家科學委員會專題研究計畫成果報告  
 分子動態學及光譜之理論與實驗研究：  
 半導體表面化學氣相沉殿和分解生成薄膜的理論研究  
 計畫編號：NSC87-2113-M-032-005-CT  
 執行期限：86/08/01~87/07/31  
 主持人：林志興 淡江大學化學系 副教授

一. 中文摘要(關鍵字：化學氣相沉澱，溫度程式去吸附，擬位勢，密度泛函理論，部分態密度)

儘管化學氣相沉澱物 SiH<sub>4</sub> 在半導體表面的吸附已經很完整的被溫度程式去吸附和靜態二次質譜方法來作研究，但由於旁產物 H 的吸附而造成 Si 薄膜生成速率緩慢，因此若能使 H 的去吸附速率加快，則有助於 Si 薄膜的生成。

經由實驗得知，如果 Si 的半導體表面，參雜了一些 Ge 雜質，則化學氣相沉澱反應的速率會有顯著的改變，因此想要藉由理論計算的方式來了解是否因為 Si 表面有 Ge 雜質存在，造成 H 的去吸附速率加快，而使得化學氣相沉澱反應的速率改變。

我們將使用包括擬位勢 (pseudopotential) 和密度泛函理論 (Density Functional Theory DFT) 的總能量計算方法及部分態密度 (Partial Density of State PDOS) 來探討以上的問題，所得到的結果有助於了解 Ge 雜質對 Si 表面的影響。

**Abstract (Keyword: Chemical Vapour Deposition CVD, Temperature Programmed Desorption TPD, Pseudopotential, Density Functional Theory DFT, Partial Density of State PDOS)**

Despite the fact that chemical vapour deposition (CVD) of SiH<sub>4</sub> on the Si(100) and Si(111) surfaces have been investigated thoroughly with temperature programmed desorption(TPD) technique and static secondary ion mass spectrometry method (SSIMS). The Si thin film grows slowly because the side product of H adsorption. If the H desorption rate is faster then it will help the Si film growth.

The incorporation of very little Ge into a Si surface significantly increases the deposition rate during CVD even though this cause of this catalytic effect still remain uncertain. Because fundamental study of these aspects are essential if the growth of Si thin film are under better control. For this reason computer modelling provides an ideal tool for investigating the rates during CVD on these well-defined Si surfaces and mixed SiGe surfaces.

We will first use an ab initio total energy calculation technique based on non-local optimised

pseudopotential , local density approximation to density functional theory (DFT) and partial density of state (PDOS) to tackle this kind of problem. The results will help us to understand.

## 二. 計畫緣由與目的:

目前使用化學氣相沉澱法 (CVD Chemical Vapour Deposition) 在表面上生成薄膜已經很普遍，尤其是以  $\text{SiH}_4$  為先驅物在半導體表面的吸附已很完整的被溫度程式去吸附和靜態二次質譜方法來作研究<sup>1,2</sup>，但由於反應常會伴隨著旁產物 H 的吸附而造成 Si 薄膜生成速率緩慢<sup>3</sup>，因此若能使 H 的去吸附速率加快，則有助於 Si 薄膜的生成，而近來由實驗上得知，若在 Si 表面參雜了一些 Ge 雜質 則化學氣相沉澱反應的速率會有顯著的改變。

M. Hierlemann and C. Werner 對上述的情形提出兩種看法<sup>4</sup>:

1. Diffusion Model : 由於 H 從 Ge 去吸附比從 Si 來的容易 (活化能 :  $37\text{kcal/mole}^{5,6,7}$  vs.  $47\text{kcal/mole}^8$ )，所以 H 由 Si 擴散到 Ge 之後，再去吸附會比直接由 Si 去吸附的速率快

2. Collective Model : 當 Si 表面參雜一些 Ge 成份而造成表面電子結構的改變，由於 Ge 的存在使得去吸附反應加快 (活化能較低)

基於以上兩種原因，H 從 Ge 的

地方去吸附較快使得表面空位增加，因而造成先驅物在表面的生成速率加快，但在 M. Hierlemann and C. Werner 的看法中並沒提到 Ge 對 Si 表面的影響及所提出的表面模型是以 cluster 代表並不是以真實的表面來模擬，因此無法準確得知表面電子結構的改變，所以我們將以真實的表面來模擬 ( $\text{Si}(100)$  surface, Ge 取代  $\text{Si}=\text{Si}$  dimer 中的一顆 Si 原子) 比較當 Ge 存在於 Si surface 中對表面的影響，可藉由 PDOS 工具來分析及 Mulliken Charge 所得的相對值來了解 dimer 上電荷的改變對  $\text{SiH}_4$  吸附及 H 去吸附反應速率的影響

## 三. 研究方法及成果:

### 研究方法:

利用 DFT 理論 (Hohenberg and Kohn, 1964; Kohn and Sham, 1965) 求得系統基態總能，而 Pseudopotential theory (Phillips, 1958; Heine and Cohen, 1970) 將電子和離子間複雜的位能用一較平滑的位能取代(即 pseudopotential) 使得描述此位能所需的 plane waves 數目減少，可迅速得出系統基態之波函數，利用此波函數對各別原子軌道作投影，可分析出各別軌道或原子對系統能帶的貢獻，此即為 PDOS(Partial Density of State)

### 成果:

由 Mulliken Charge 所得的結果得知，當有 Ge 存在時，對 dimer 上電荷分佈的差異性加大，使得  $\text{SiH}_4$

更易吸附上去，而根據 PDOS 所得的結果證實 (Figure1.2.3.4)，Ge 存在對 surface state 的影響，當 Ge 取代 dimer 上 Si 時，造成 bounding and anti-bonding state 的位移，使得  $\text{SiH}_4$  的 Si 更易吸附上去，而 H 也易和 buckled-down atom 鍵結，再加上 Ge-H 鍵比 Si-H 鍵弱 ( $83 \pm 2^{\circ}\text{kcal/mole}$  vs.  $90.3^{\circ}\text{kcal/mole}$ )，因此 H 由 Ge 去吸附較由 Si 快

#### 四. 討論與結論：

由 Mulliken Charge 所得的結果得知， $\text{Si}=\text{Si}$  dimer 中 buckled-up atom 為 nucleophilic site 而 buckled-down atom 為 electrophilic site，若 Ge 取代 buckled-up or buckled-down atom 使得電荷分佈的差異性加大因而造成  $\text{SiH}_4$  更易吸附上去，而根據 PDOS 所得的結果證實，當 Ge 取代 buckled-down Si atom 時 (Figure1.2)，使得 bounding state 往較高能階位移，anti-bonding state 能量降低，造成  $\text{SiH}_4$  的 Si 更易吸附上去，而 H 也易和 buckled-down atom 鍵結，再加上 Ge-H 鍵比 Si-H 鍵弱 ( $83 \pm 2^{\circ}\text{kcal/mole}$  vs.  $90.3^{\circ}\text{kcal/mole}$ )，因此 H 由 Ge 去吸附較由 Si 快

#### 五. 參考資料：

- 1) M. A. Mendicino and E. G. Seebauer, *Surface Science* **277**, 89 (1992).
- 2) S. M. Gates, C. M. Greenlief, D. B. Beach, and P. A. Holbert, *J. Chem. Phys.* **92**, 3144 (1990).
- 3) S. M. Gates, C. M. Greenlief, D. B.

Beach, *J. Chem. Phys.* **19**, 7493 (1990).

- 4) M. Hierlemann and C. Werner, private communication.
- 5) L. Surnev and M. Tikhov, *Surf. Sci.*, **40**, 138(1984).
- 6) R. Malik, E. Gulari, S. H. Li, and P. K. Bhattacharya, *J. Appl. Phys.*, **73**, 5193(1993).
- 7) G. Eres and J. W. Sharp, *J. Vac. Sci. Technol.*, **A**, **11**, 2463(1993).
- 8) K. Sinnish, G. M. Sherman, L. B. Lewis, W. H. Weinberg, J. T. Yates and K. C. Janda, *J. Chem. Phys.*, **62**, 567(1989).
- 9) CRC Handbook of Physics and Chemistry, *The Chemical Rubber Company*, **73**, (1993).

#### 六. 圖表：

Fig1.  $\text{Si}(100)$  表面上  $\text{Si}=\text{Si}$  dimer 及  $\text{Si}=\text{Ge}$  dimer 的 PDOS(p-orbital)圖， $\text{Si}=\text{Si}$  solid line,  $\text{Si}=\text{Ge}$  dotted line

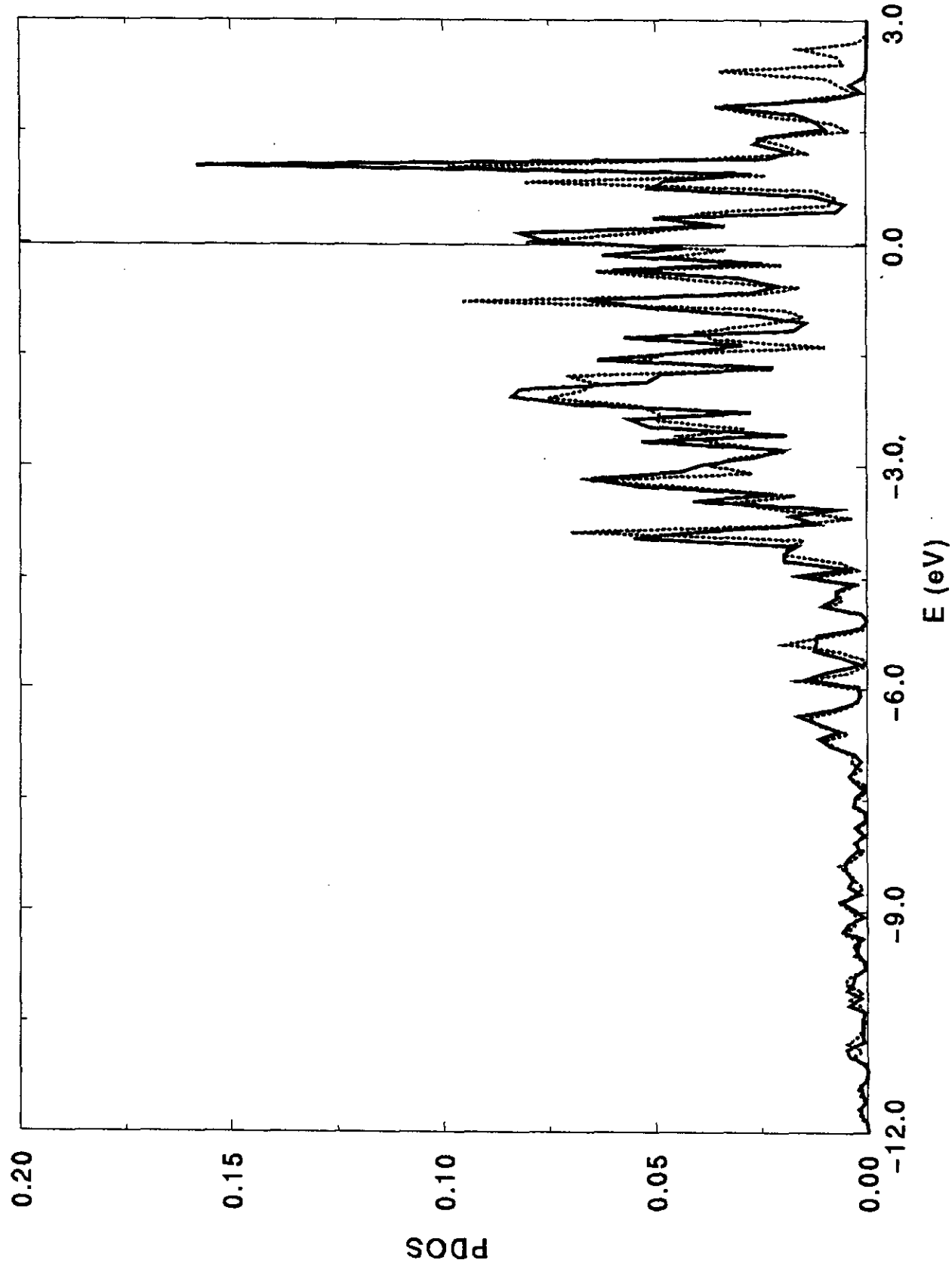
Fig2. Dimer 上 buckled-up Si atom 的 PDOS(p-orbital)圖， $\text{Si}=\text{Si}$  solid line,  $\text{Si}=\text{Ge}$  dotted line

Fig3.  $\text{Si}(100)$  表面上  $\text{Si}=\text{Si}$  dimer 及  $\text{Ge}=\text{Si}$  dimer 的 PDOS(p-orbital)圖， $\text{Si}=\text{Si}$  solid line,  $\text{Ge}=\text{Si}$  dotted line

Fig4. Dimer 上 buckled-down Si atom 的 PDOS(p-orbital)圖， $\text{Si}=\text{Si}$  solid line,  $\text{Ge}=\text{Si}$  dotted line

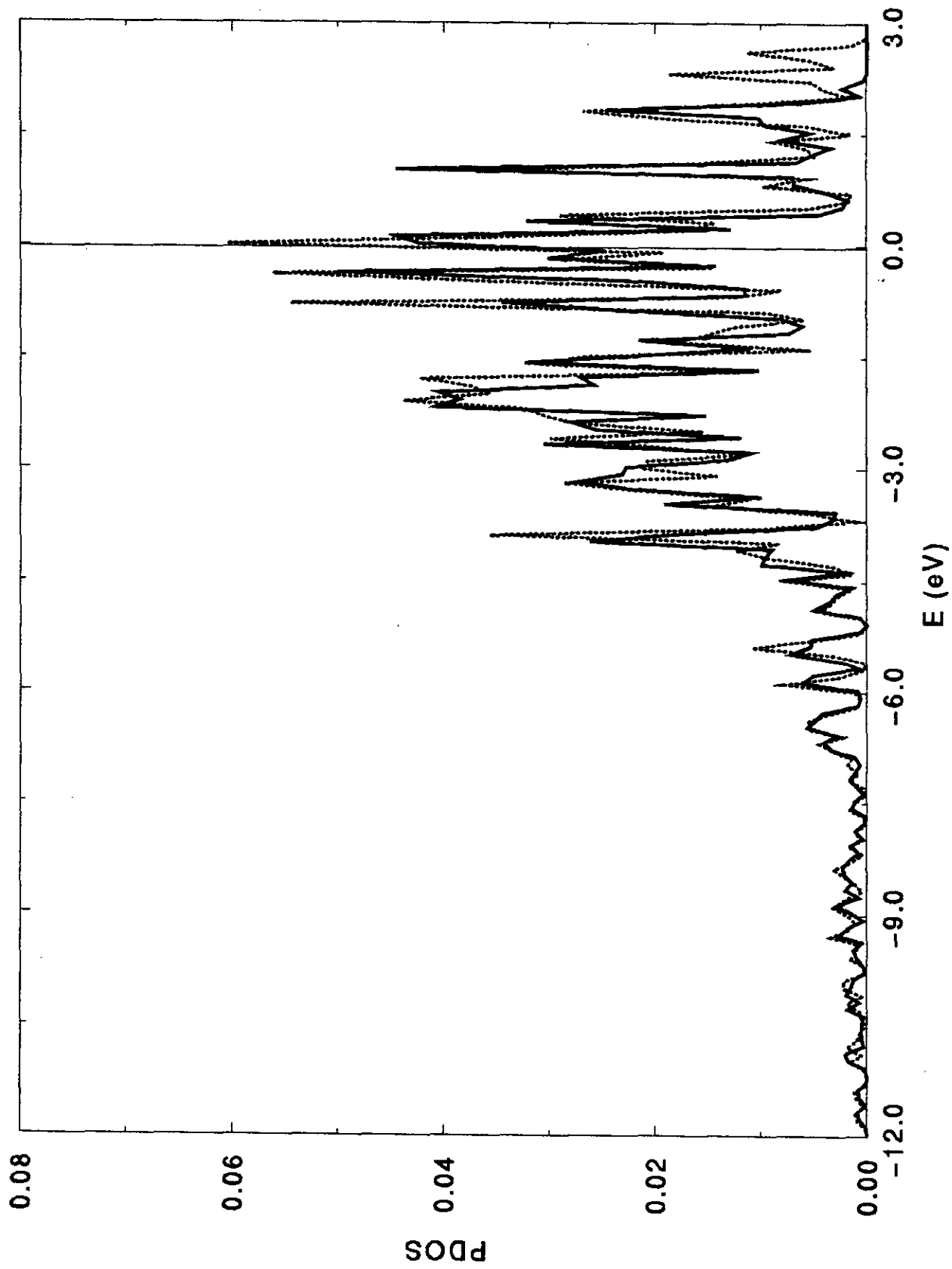
# P DOS ( p-orbital ) of dimer

Si=Si solid line , Si=Ge dotted line



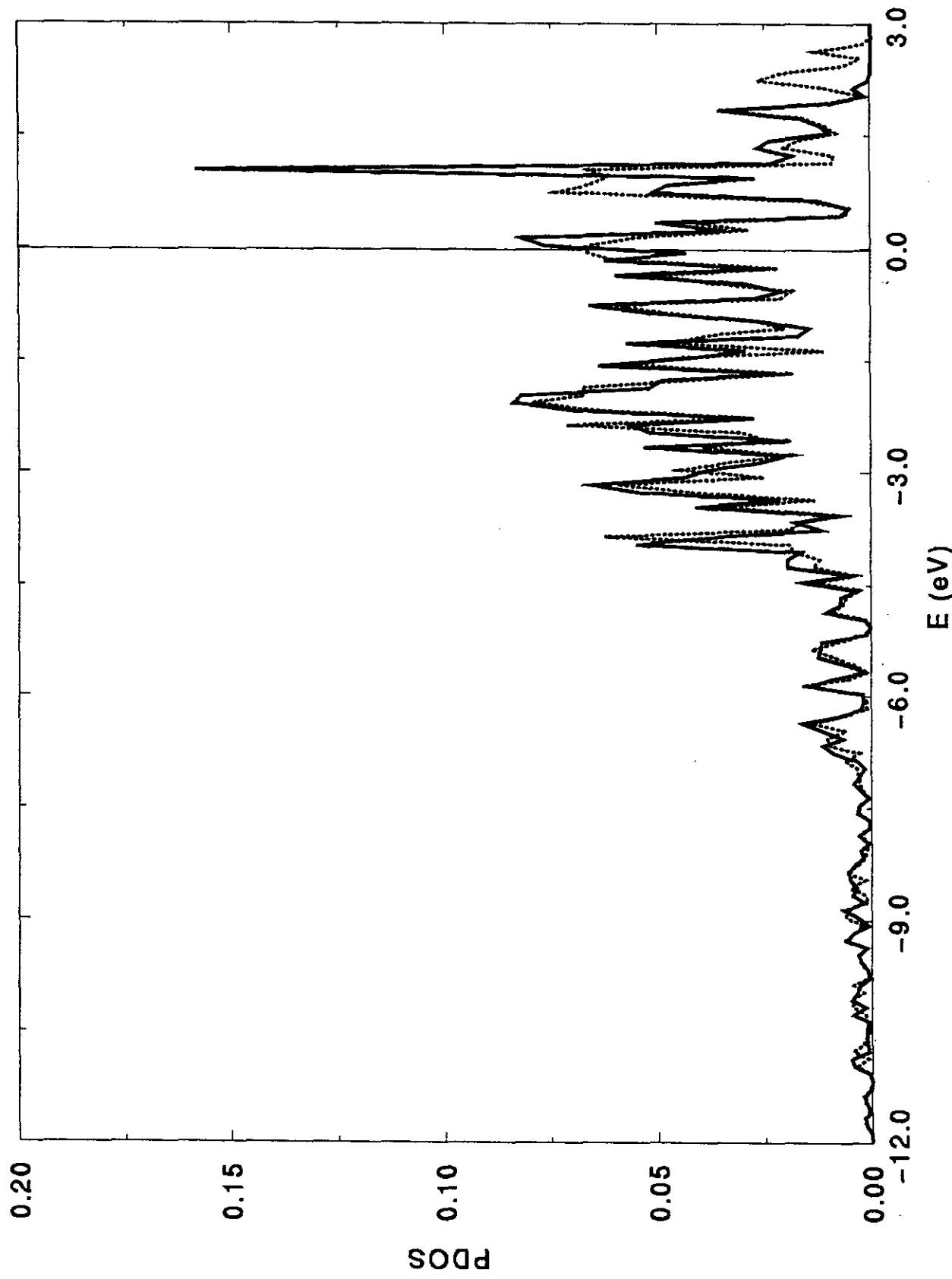
2  
P DOS(p-orbital) of buckled-up Si atom

Si=Si solid line , Si=Ge dotted line



PDOS(p-orbital) of dimer

Si=Si solid line , Ge-Si dotted line



4.  
P DOS(p-orbital) of buckled-down Si atom

Si-Si solid line , Ge-Si dotted line

